



# QUEST プラズマにおける 波動加熱と統合モデリング

福山 淳

京都大学大学院工学研究科

1. トカマクプラズマ統合コード TASK
2. 輸送シミュレーション (TR, TX)
3. 電子サイクロotron波の伝播 (WM)
3. 電子バーンシュタイン波へのモード変換 (W1)
5. まとめ

# 炉心プラズマの統合シミュレーション

## 目的

- ▶ 物理現象の解明
- ▶ 運転シナリオの開発
- ▶ 将来装置の性能予測

- TOPICS (QST)
- TASK (Kyoto U)
- TASK3D (NIFS, Kyoto U)
- TOTAL (Nagoya U)

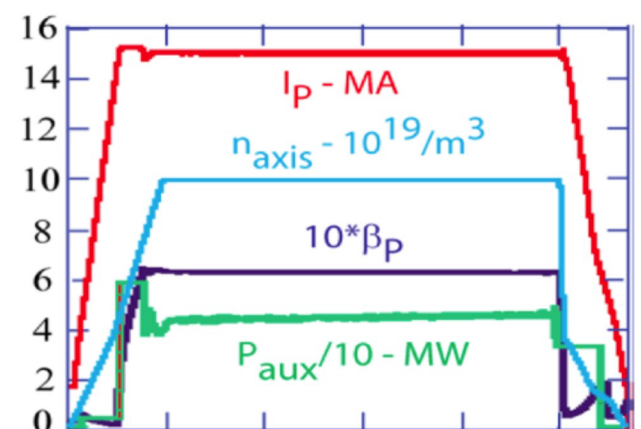
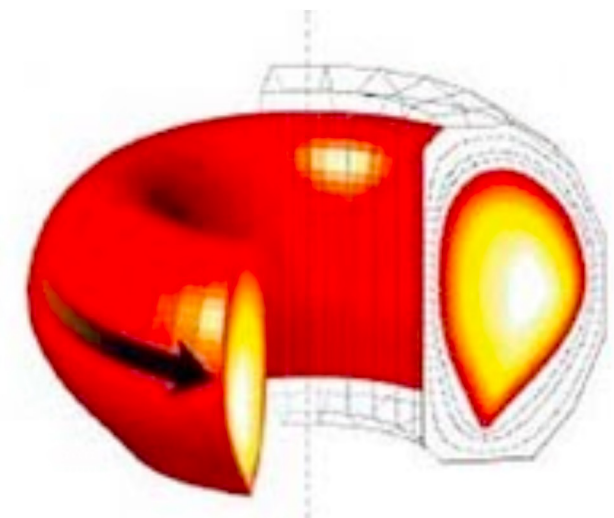
信頼できるシミュレーションツールが必要

プラズマ全体

- ▶ コア, 周縁, SOL, ダイバータ, 壁

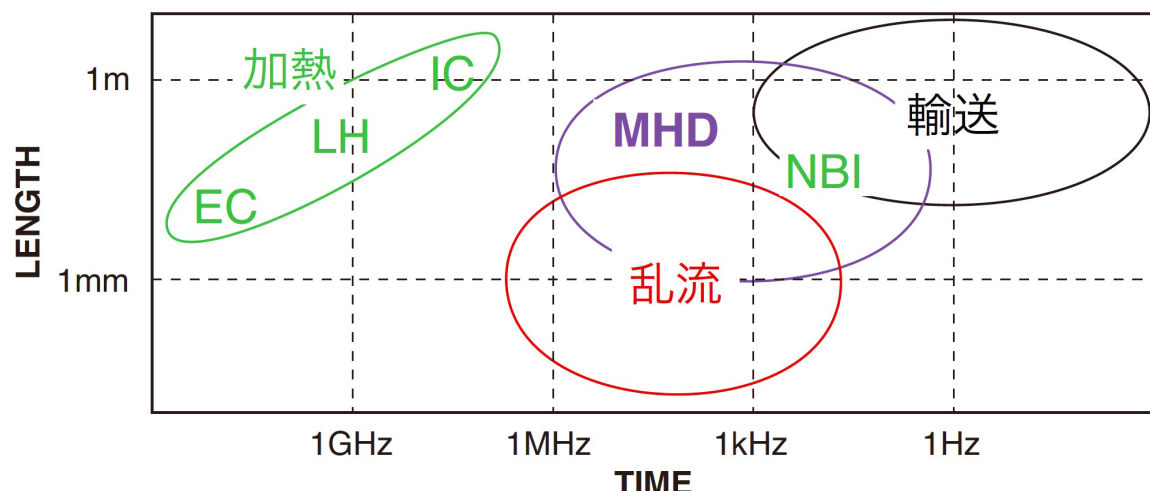
放電時間全体

- ▶ 立ち上げ, 維持, 突発事象, 立ち下げ

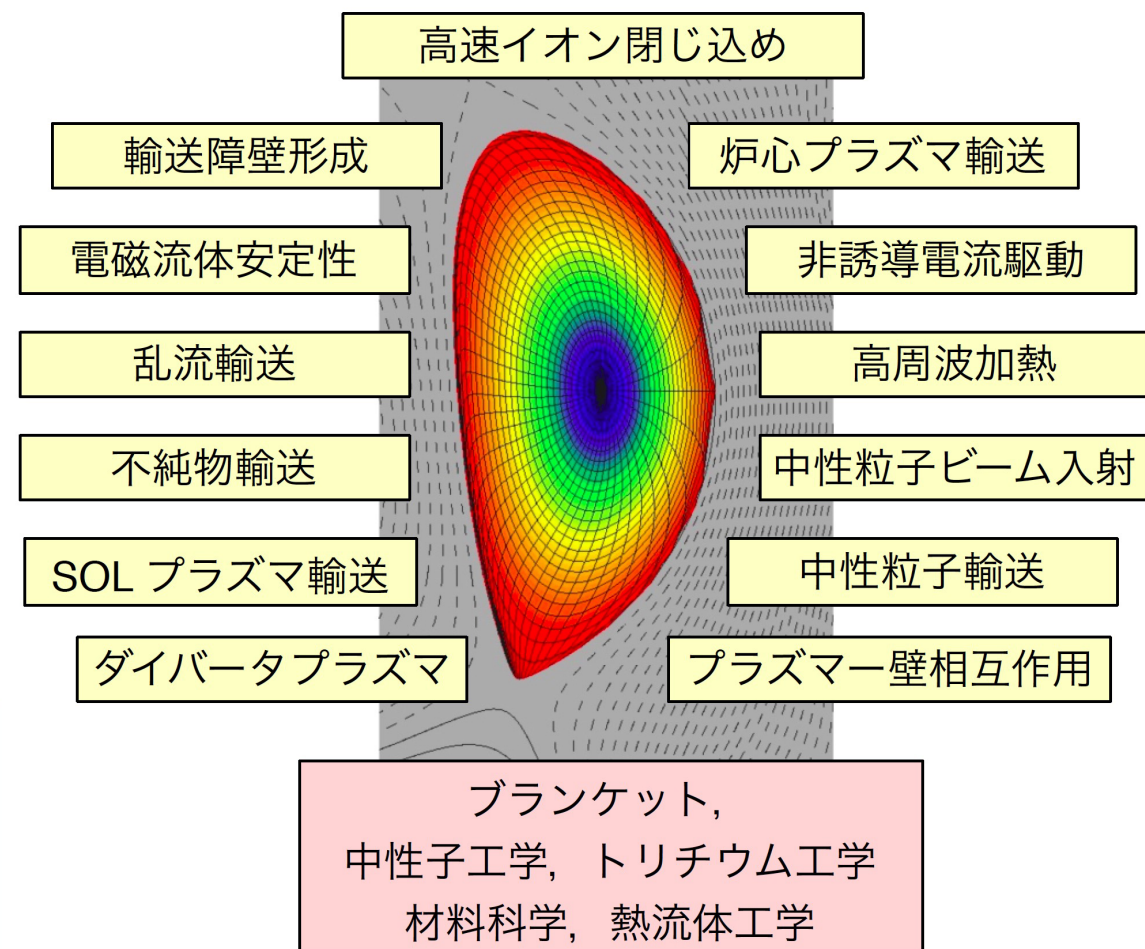


# トロイダルプラズマ中のさまざまな現象

## 幅広い時間・空間スケール



## さまざまな現象が密接に結合し、相互作用



## トロイダルプラズマのモデリング

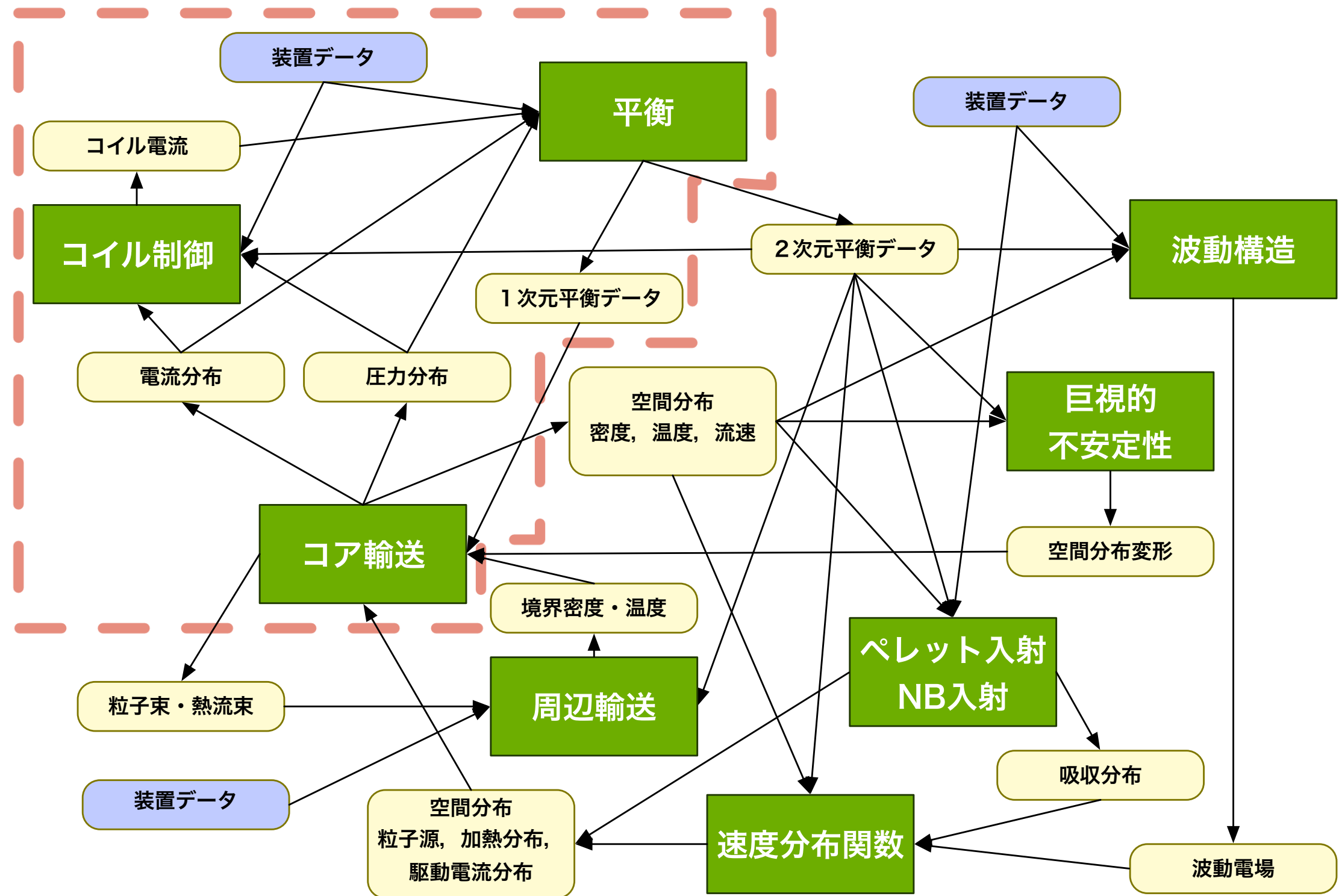
多階層連結

少数のモデルで多様な現象を記述

多要素統合

多数のモデルを結合し現象を記述

# 要素モジュール間のデータ交換

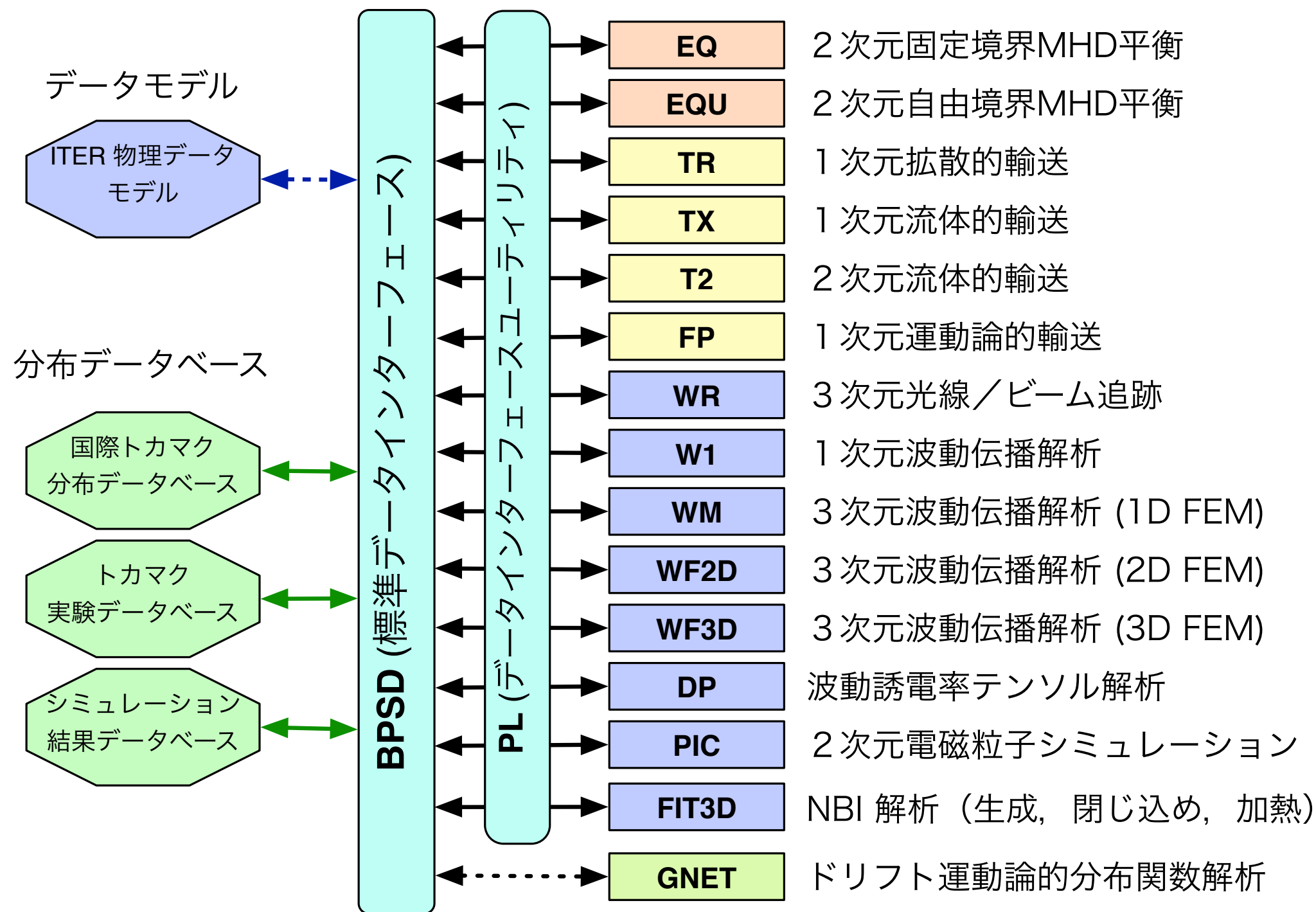


# 統合コードに望まれる機能

---

- モジュール構造
  - 要素コードの容易な保守（モジュールの追加, 更新）
  - さまざまな解析レベルのモジュール（高速, 簡易, 標準, 厳密）
- 統一されたインターフェース
  - 情報交換のためのデータ構造
  - データ交換のためのプログラムインターフェース
  - データ保存のためのファイルインターフェース
  - 習得を容易にするユーザーインターフェース
- 可用性
  - 可搬性：さまざまな計算環境
  - オープンソース：より多くのユーザー, 繼続性, 保守性
  - 可視化：現象の容易な理解
- 高性能化
  - 並列処理：高速化, 大規模化

# TASK コードの構造



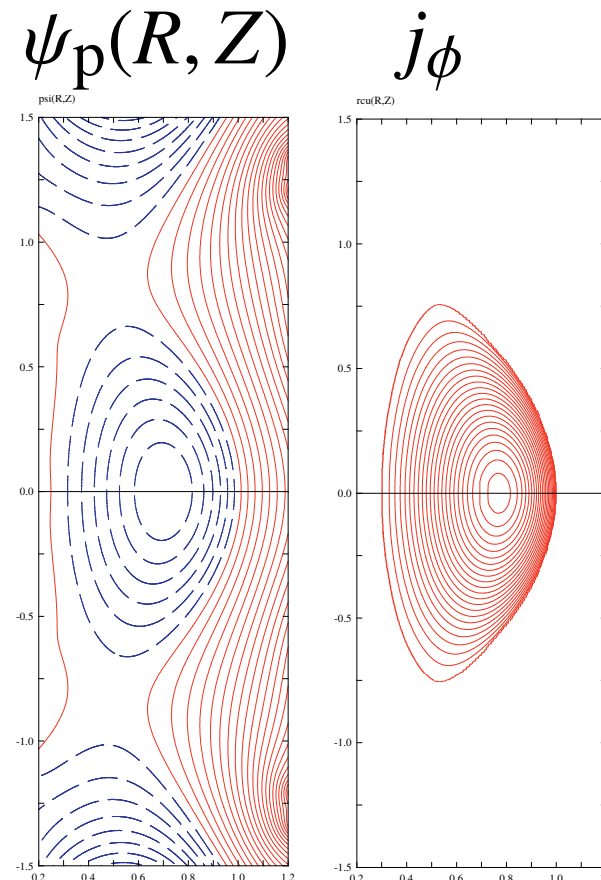
# 統合トカマクモデリングコード TASK の開発

---

- 波動解析コードの開発
  - JFT-2M LH 加熱・電流駆動の解析 (1977) **WR**
  - ICRF 加熱の解析：1次元 (1983) **W1**
  - ICRF 加熱の解析：2次元 (1986) **WF2D, WM**
  - 高速イオンの生成 (1990) **FP**
  - 3次元波動伝播解析 (2003) **WF3D**
- 輸送解析コードの開発
  - 拡散型輸送コード (1992) **TR**
  - 平衡コードとの結合 (1992) **EQ**
  - 流体型輸送コード (1994) **TX**
  - 2次元流体型輸送コード (2012) **T2**
- 統合コードとしての開発
  - モジュール間の連携 (1992)
  - 統合データ連係 **BPSD** の開発 (2003)

# トカマク MHD 平衡解析

- **TASK/EQ**: 固定／自由境界 2 次元平衡
- **TASK/EQU**: 自由境界 2 次元平衡 (**coded by M. Azumi**)
- **QUEST** の解析例：自由境界平衡
  - $R = 0.64 \text{ m}$ ,  $a = 0.36 \text{ m}$ ,  $B = 0.64 \text{ T}$ ,  $I_p = 300 \text{ kA}$ , OH+LHCD



# 輸送モデリングの階層

- 流体モデル

1D 拡散方程式 : $n(\rho, t), T(\rho, t)$	<b>TR</b>
-------------------------------------	-----------

2D 拡散方程式 : $n(\rho, \chi, t), T(\rho, \chi, t)$	<b>SONIC, B2</b>
---	------------------

1D 流体方程式 : $n(\rho, t), \mathbf{u}(\rho, t), T(\rho, t)$	<b>TX</b>
--	-----------

2D 流体方程式 : $n(\rho, \chi, t), \mathbf{u}(\rho, \chi, t), T(\rho, \chi, t)$	<b>T2</b>
--	-----------

- 運動論的モデル

軌道平均ドリフト運動論方程式 : $f(p, \theta_p, \rho, t)$	<b>FP</b>
--	-----------

軸対称ジャイロ運動論方程式 : $f(p, \theta_p, \rho, \chi, t)$	<b>XGC0</b>
---	-------------

ジャイロ運動論方程式 : $f(p, \theta_p, \rho, \chi, \zeta, t)$	<b>GT5D, GKV, GYRO</b>
---	------------------------

運動論方程式 : $f(p, \theta_p, \phi_g, \rho, \chi, \zeta, t)$	<b>PARASOL</b>
---	----------------

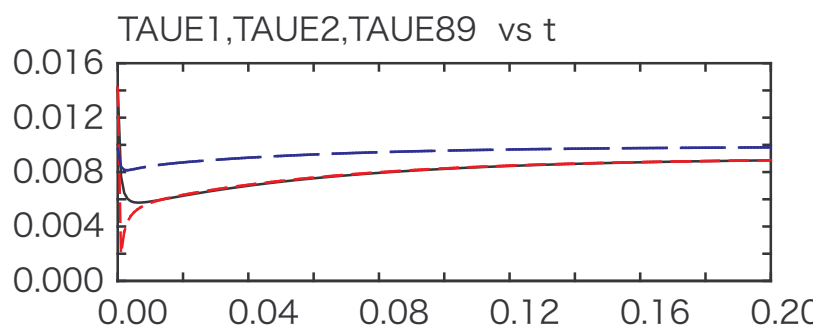
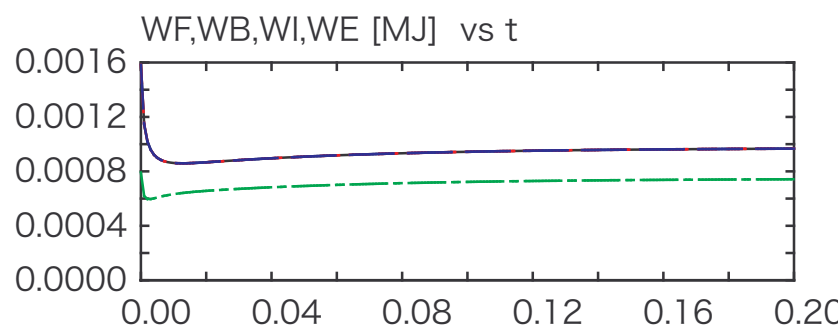
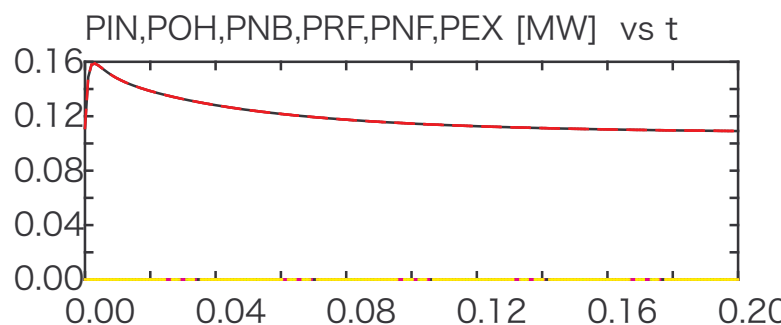
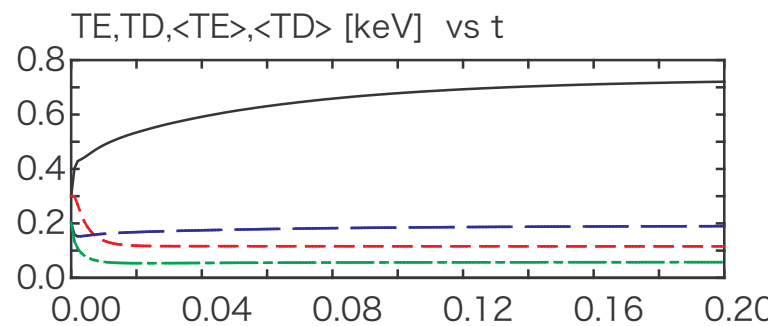
# TASK コードにおける輸送モデリング

---

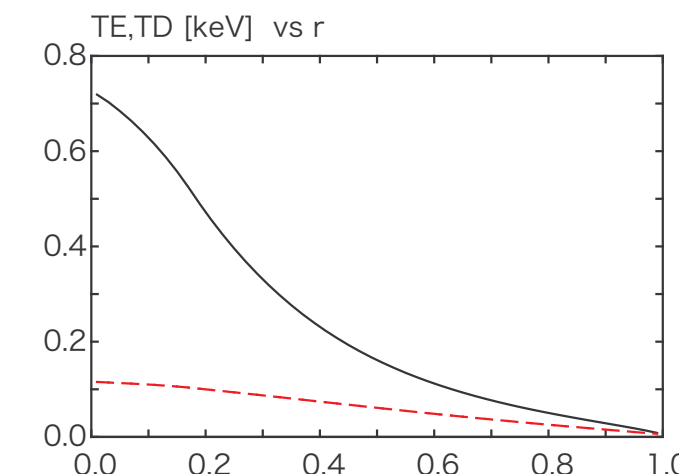
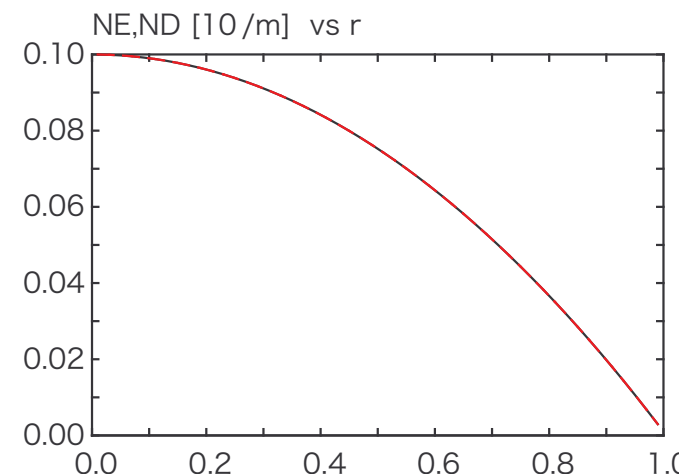
- **拡散型輸送方程式** : **TASK/TR**
  - 密度の拡散方程式
  - 勾配に比例する流束（粒子束, 運動量束, 熱流束）
  - 従来の輸送シミュレーション
- **流体型輸送方程式** : **TASK/TX**
  - 密度の連続方程式 + 運動方程式
  - 磁気面された多流体方程式 + マクスウェル方程式
  - プラズマ回転, 径方向電界, 電荷分離, 過渡現象
- **運動論的輸送方程式** : **TASK/FP**
  - 運動量分布関数に対する軌道平均されたドリフト運動論方程式
  - フォッカープランク方程式（衝突, 波動による準線形拡散）
  - 運動量分布関数の変形（加熱, 電流駆動, 磁気面崩壊）

# TASK/TR による解析 ( $\text{OH}, 10^{19} \text{ m}^{-3}, 150 \text{ kA}$ )

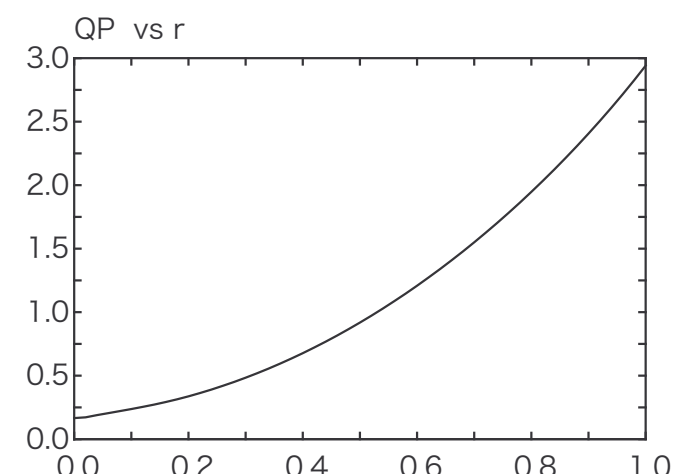
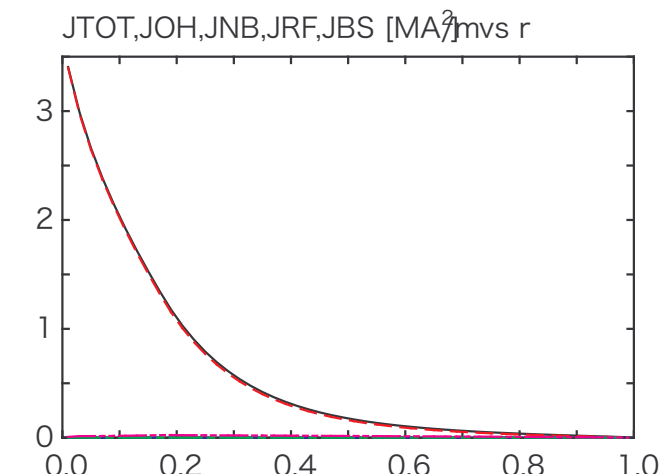
$T, I, W, \tau_E(t)$



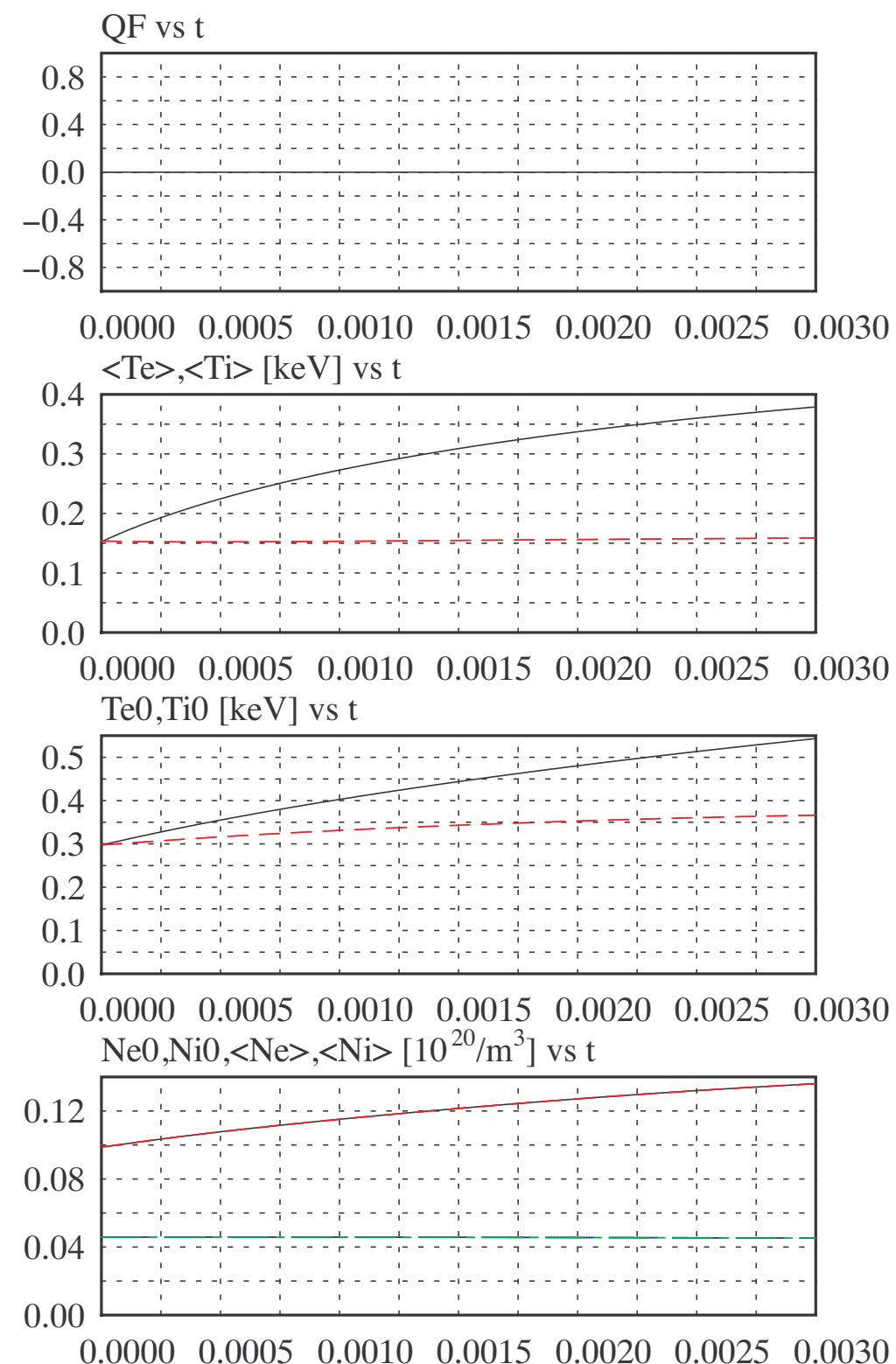
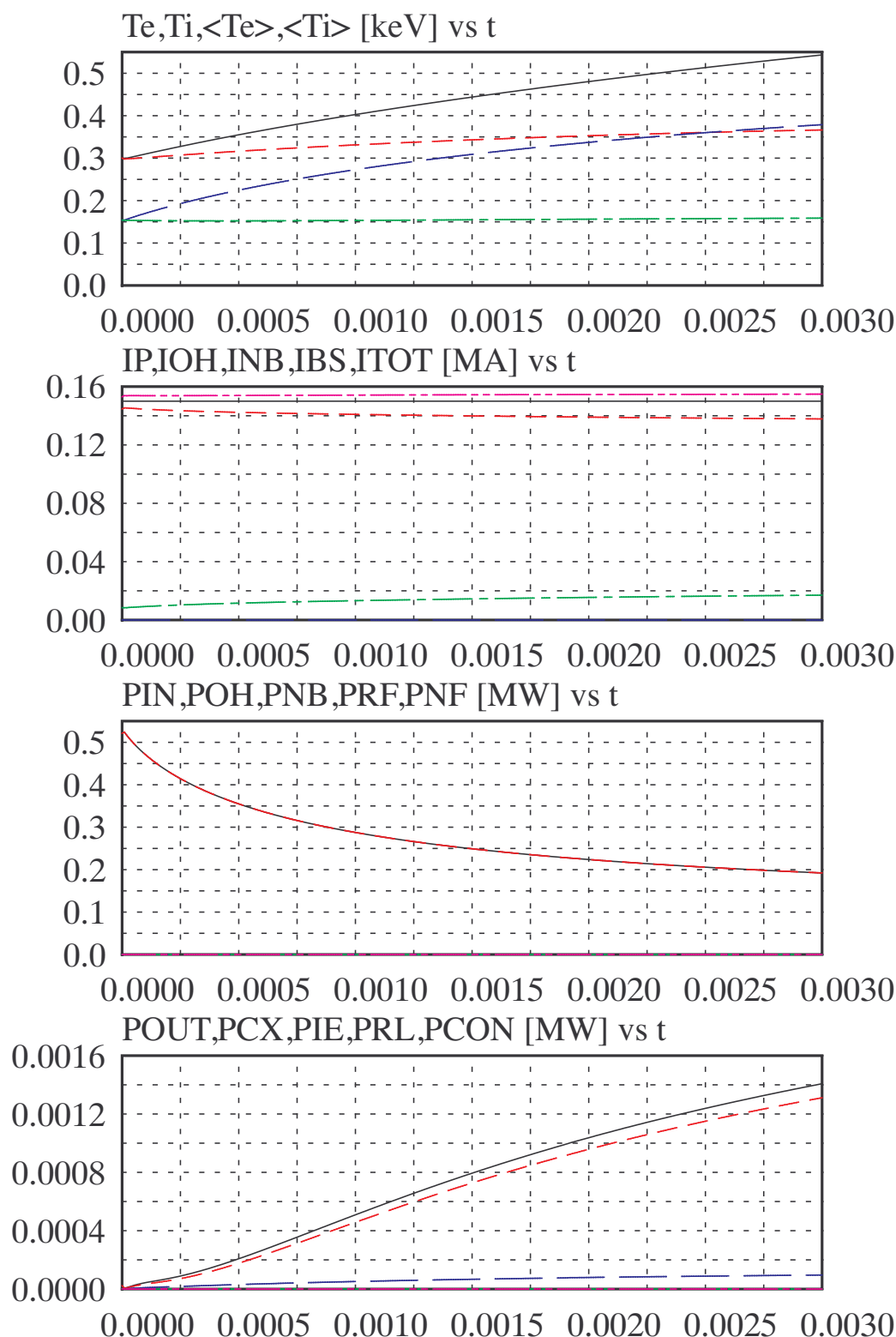
$n, T(\rho)$



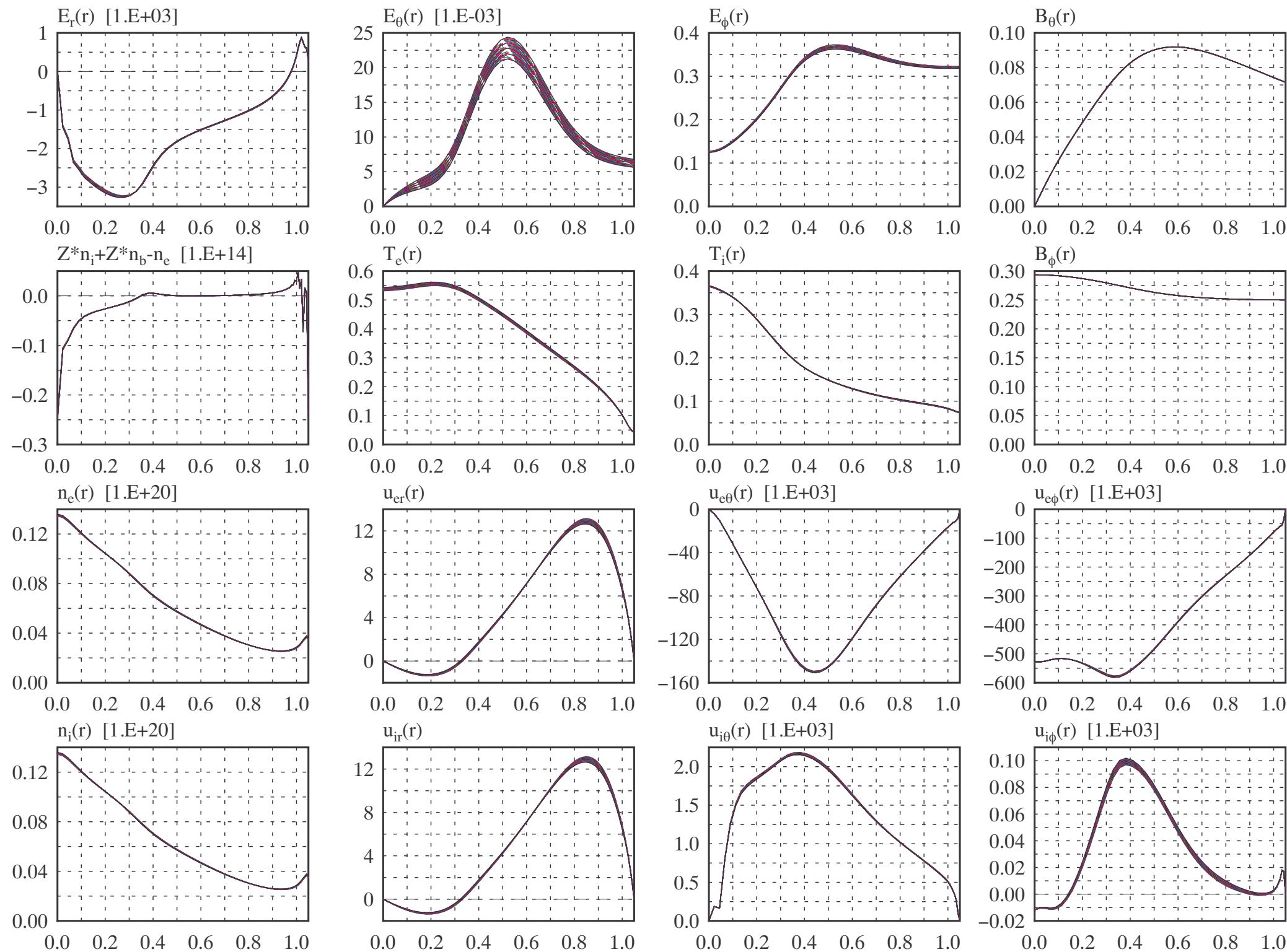
$j, q(\rho)$



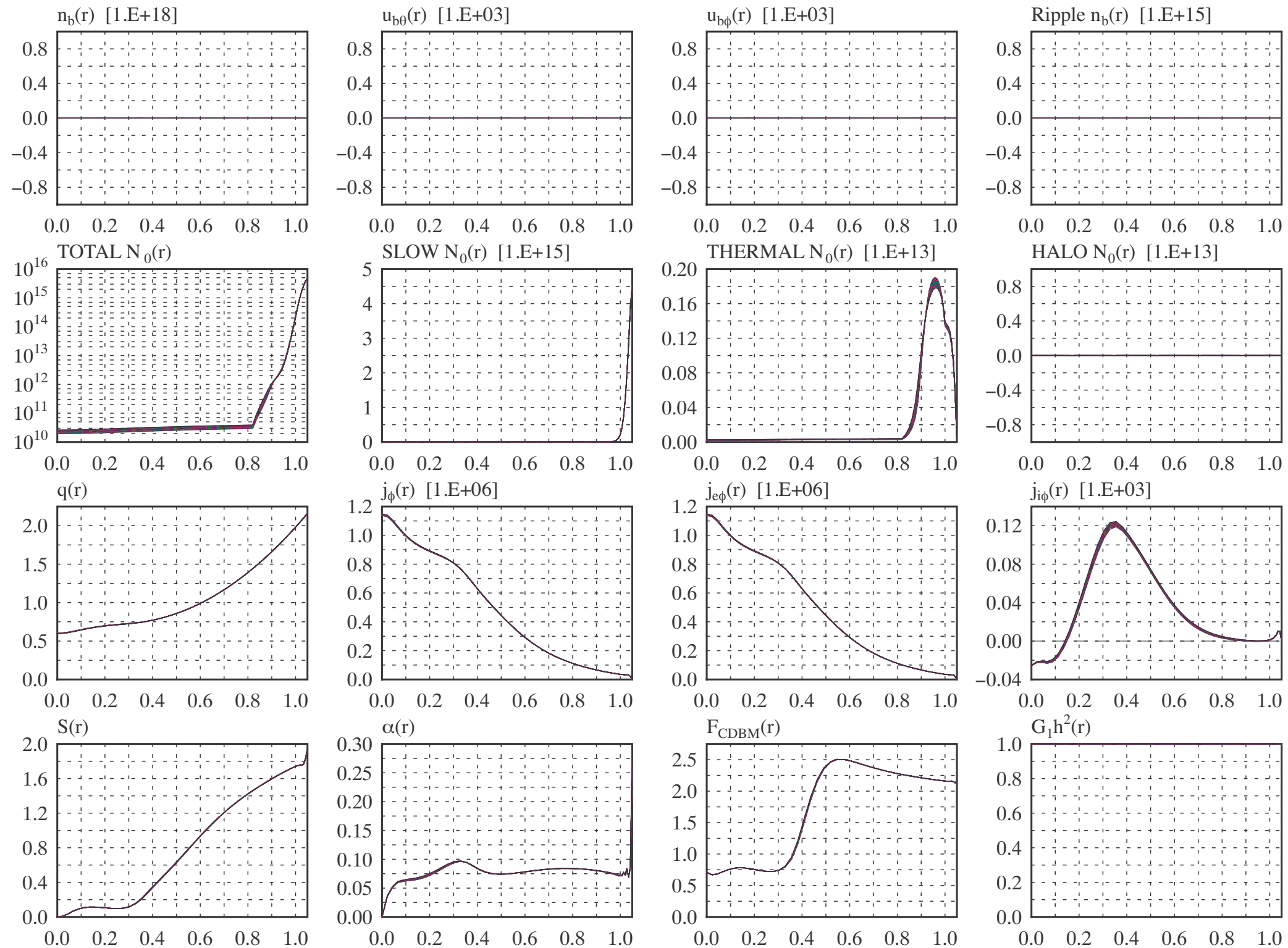
# TASK/TX による解析 (OH, 150 kA) I



# TASK/TX による解析 (OH, 150 kA) II



# TASK/TX による解析 (OH, 150 kA) III



# 波動光学的解析

---

- 角周波数  $\omega$  の波動電界に対する Maxwell 方程式の境界値問題

- $\tilde{E}(\mathbf{r}, t) = E(\mathbf{r}) e^{-i\omega t}$  : 波動電界

- $\overleftrightarrow{\epsilon}(\mathbf{r}, \mathbf{r}', \omega)$  : 誘電率テンソル

$$\nabla \times \nabla \times \mathbf{E}(\mathbf{r}) = \frac{\omega^2}{c^2} \int d\mathbf{r}' \overleftrightarrow{\epsilon}(\mathbf{r}, \mathbf{r}') \cdot \mathbf{E}(\mathbf{r}') + i\omega\mu_0 j_{\text{ext}}(\mathbf{r})$$

- 長所

- 媒質の空間変化の特性長よりも長い波長の波を記述できる.

- 回折現象や遮断領域の透過を記述できる.

- 有限サイズのアンテナとの結合を記述できる.

- 定在波の形成を記述できる.

- 短所

- より多くの計算資源を必要とする.

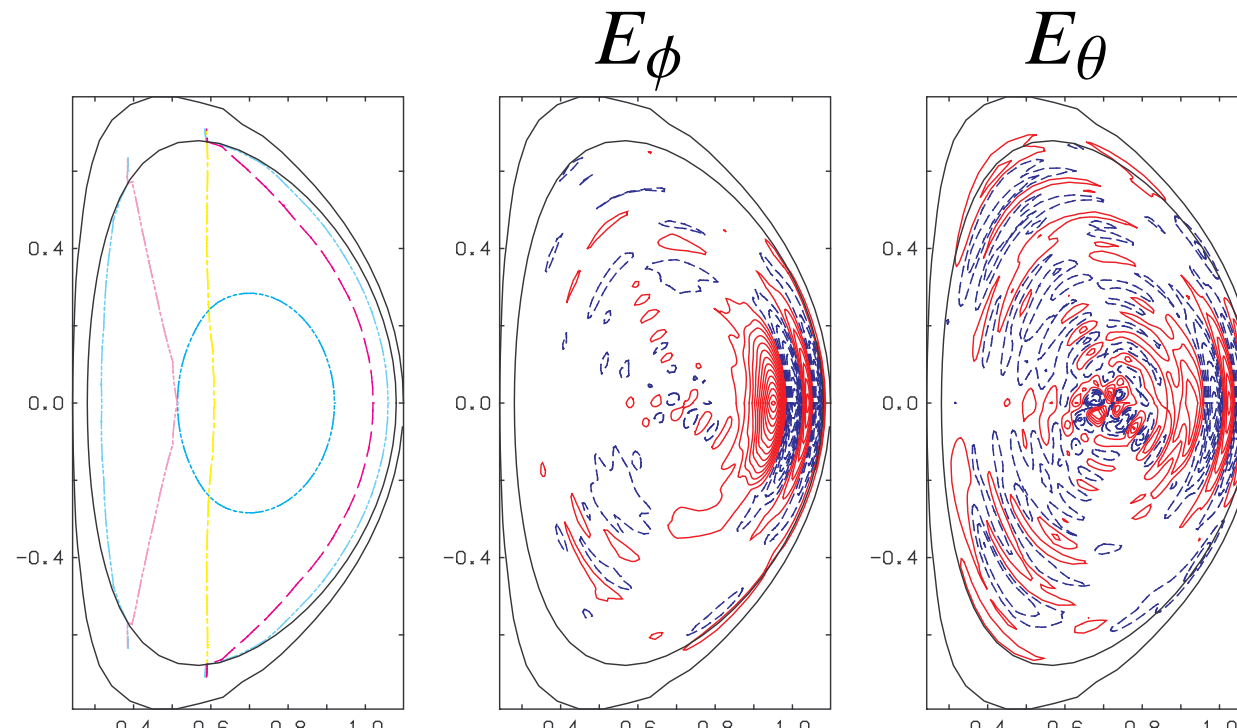
- 運動論的効果を取り入れるために工夫が必要

- 有限ラーモア半径効果

- 波粒子共鳴相互作用 (ランダウ減衰, サイクロトロン減衰)

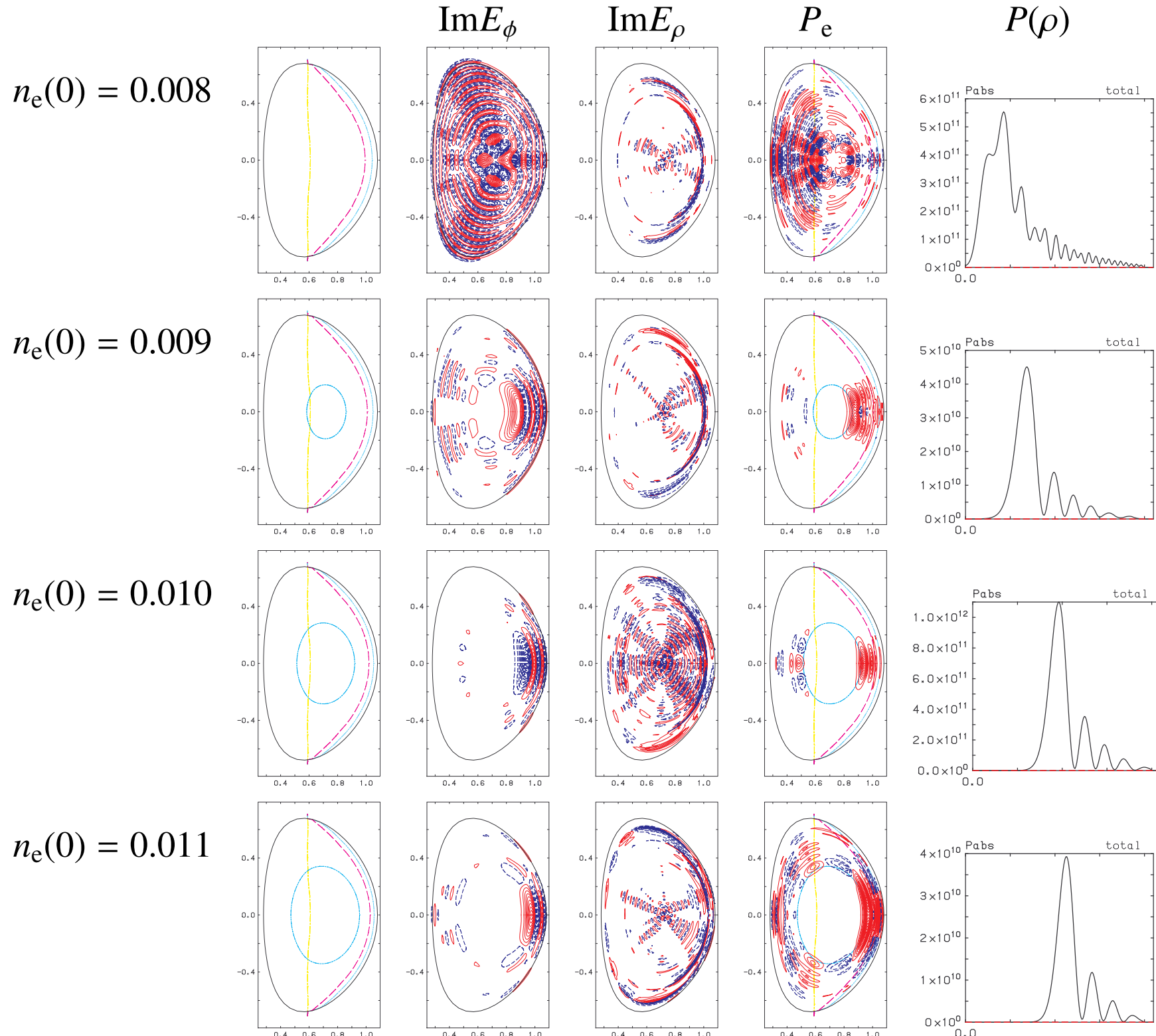
# QUEST における EC 波の伝播解析

- **QUEST Tokamak**
  - $R = 0.68 \text{ m}$
  - $a = 0.40 \text{ m}$
  - $B_0 = 0.25 \text{ T}$
  - $I_p = 0.1 \text{ MA}$
  - $n_{e0} = 10^{18} \text{ m}^{-3}$   
(very low density)
  - $f = 8.2 \text{ GHz}$
  - $n_{\phi 0} = 66$



- 冷たいプラズマ近似なので、高域混成共鳴で衝突減衰
  - 電子バーンシュタイン波は記述できない

# 密度依存性: $n_\phi = 0$



# 波動光学的解析における有限ラーモア半径効果の記述

---

- **速波近似**：
  - 冷たいプラズマ近似を用いて、速波の波数を求め、 $k_{\perp}\rho$  を評価
  - 解析対象が、速波かつ進行波に限られる。
- **微分演算子**：TORIC code (Brambilla, IPP)
  - $k_{\perp}\rho$  について展開し、 $i\rho\partial/\partial r_{\perp}$  に置き換える。
  - $k_{\perp}\rho \lesssim 1$  に解析が限られ、実用上二次までの展開に限定される。
- **フーリエ変換**：AORSA code (Jaeger, ORNL)
  - 不均一方向についてもフーリエ変換し、畳み込み積分を行う。
  - 全てのフーリエ成分が結合するため、必要な計算資源が多い。
- **積分演算子**：Sauter(NF, 1992), TASK/W1 code (Fukuyama)
  - 積分形の誘電率テンソル  $\int \epsilon(x - x') \cdot E(x') dx'$  を用いる。
  - 空間的相関が局在しているため、必要な計算資源が比較的少ない。

# 波-粒子相互作用の積分形による定式化

---

- 積分形誘電率テンソル :

$$\nabla \times \nabla \times \mathbf{E}(\mathbf{r}, \omega) - \frac{\omega^2}{c^2} \int_V d\mathbf{r}' \overleftrightarrow{\epsilon}(\mathbf{r}, \mathbf{r}'; \omega) \cdot \mathbf{E}(\mathbf{r}', \omega) - i\omega\mu_0 \mathbf{J}_{\text{ext}}(\mathbf{r}, \omega) = 0$$

- Vlasov 方程式の線形解 :

$$f(\mathbf{r}, \mathbf{v}, t) = -\frac{q}{m} \int_{-\infty}^t dt' [\mathbf{E}(\mathbf{r}') + \mathbf{v}' \times \mathbf{B}(\mathbf{r}')] \cdot \frac{\partial f_0(\mathbf{r}', \mathbf{v}')}{\partial \mathbf{v}'} e^{-i\omega t'}$$

- 誘起電流 :

$$\mathbf{j}(\mathbf{r}) = \int d\mathbf{v} q\mathbf{v} f(\mathbf{r}, \mathbf{v}, t) e^{i\omega t} = \int d\mathbf{r}' \overrightarrow{\sigma}(\mathbf{r} - \mathbf{r}', t - t') \cdot \mathbf{E}(\mathbf{r}')$$

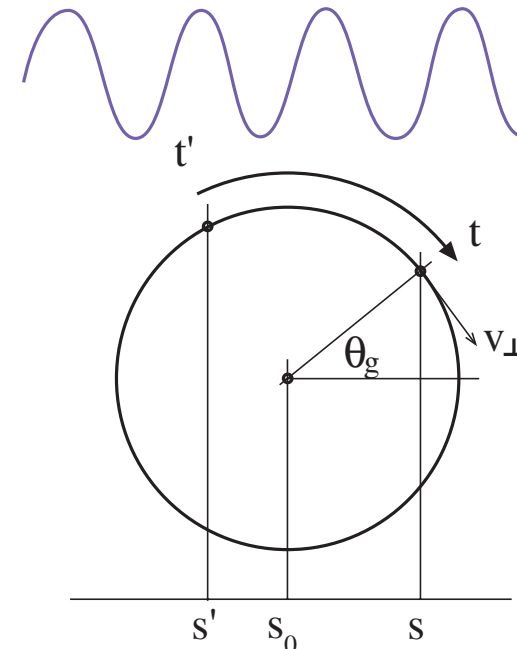
- 非等方マクスウェル速度分布 :

$$f_0(s_0, \mathbf{v}) = n_0 \left( \frac{m}{2\pi T_\perp} \right)^{3/2} \left( \frac{T_\perp}{T_\parallel} \right)^{1/2} \exp \left[ -\frac{v_\perp^2}{2v_{T_\perp}^2} - \frac{v_\parallel^2}{2v_{T_\parallel}^2} \right]$$

# 有限ラーモア半径効果の取り扱い

- 積分変数の変換

- 速度空間変数  $(v_{\perp}, \theta_g)$  を  
実空間変数
    - 過去の粒子位置  $s'$
    - 旋回中心位置  $s_0$に変数変換



- $\tau$  に関する積分: 周期的なサイクロトロン運動についてフーリエ展開
- $v_{\parallel}$  に関する積分 : プラズマ分散関数  $Z[(\omega - n\omega_c)/k_{\parallel}v_{T\parallel}]$
- $\theta \equiv \omega_c t$  に関する積分 : 4 種類の積分核関数に帰着

# O-X-B モード変換の1次元解析

## LATE パラメータ

$$R_0 = 0.22 \text{ m}$$

$$a = 0.16 \text{ m}$$

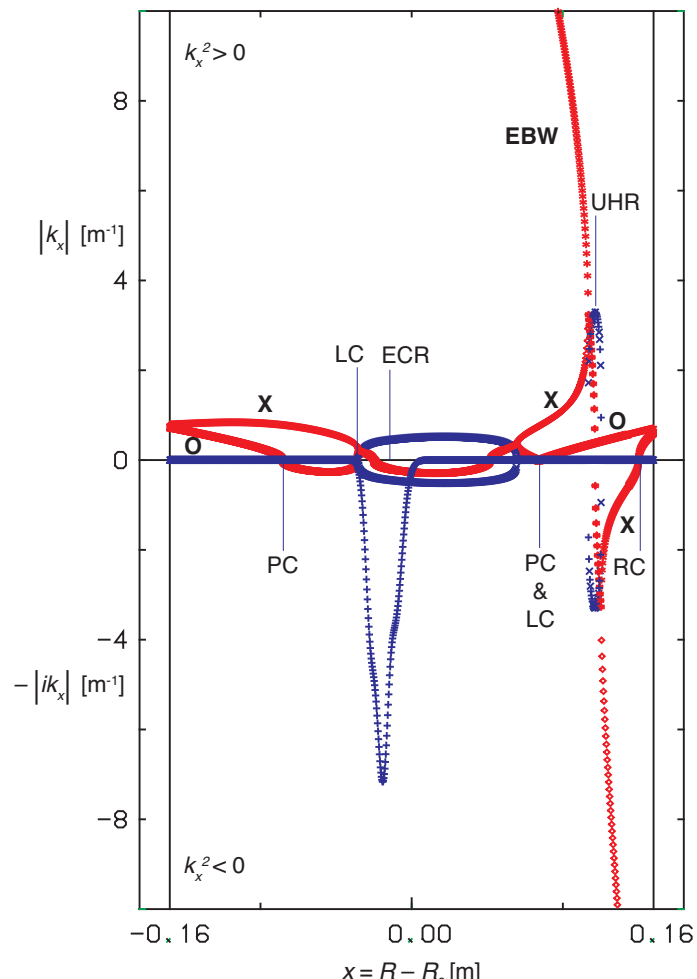
$$B_0 = 0.08 \text{ T}$$

$$n_e(0) = 1 \times 10^{17} \text{ m}^{-3}$$

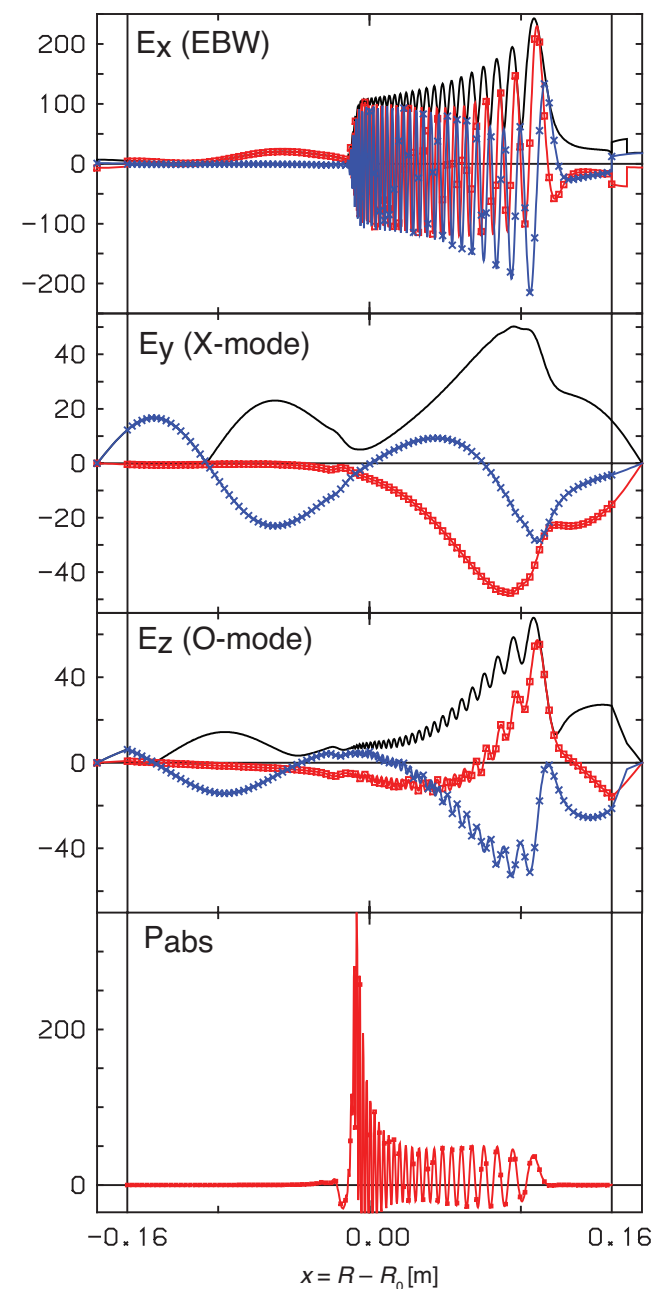
$$f = 2.45 \text{ GHz}$$

$$k_\phi = 24 \text{ m}^{-1}$$

## 分散関係

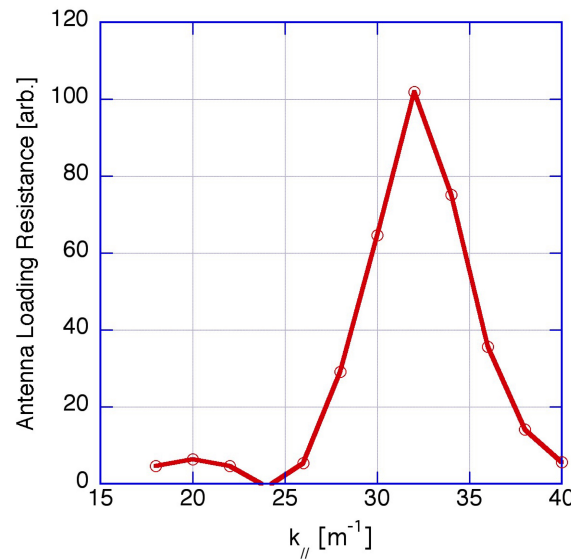


## 波動電界と吸収パワー密度

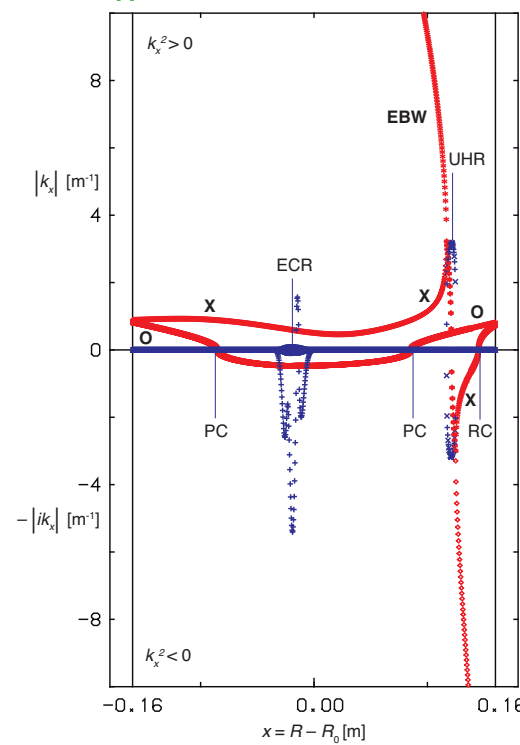


# O-X-B モード変換の波数依存性

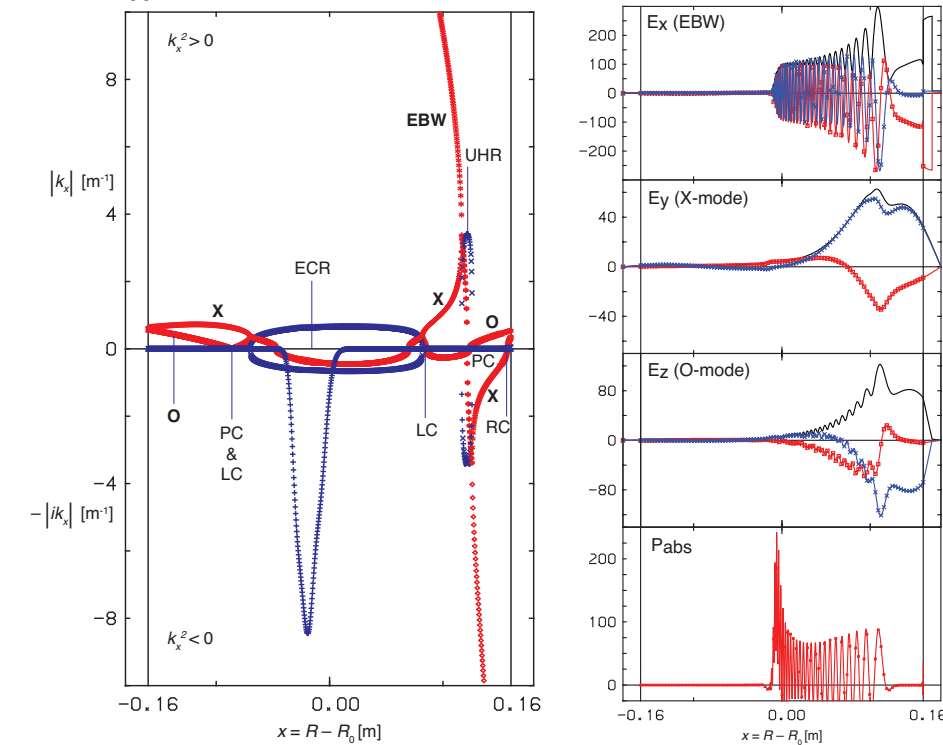
## アンテナ負荷抵抗の波数依存性



$$k_{\parallel} = 24 \text{ m}^{-1}$$



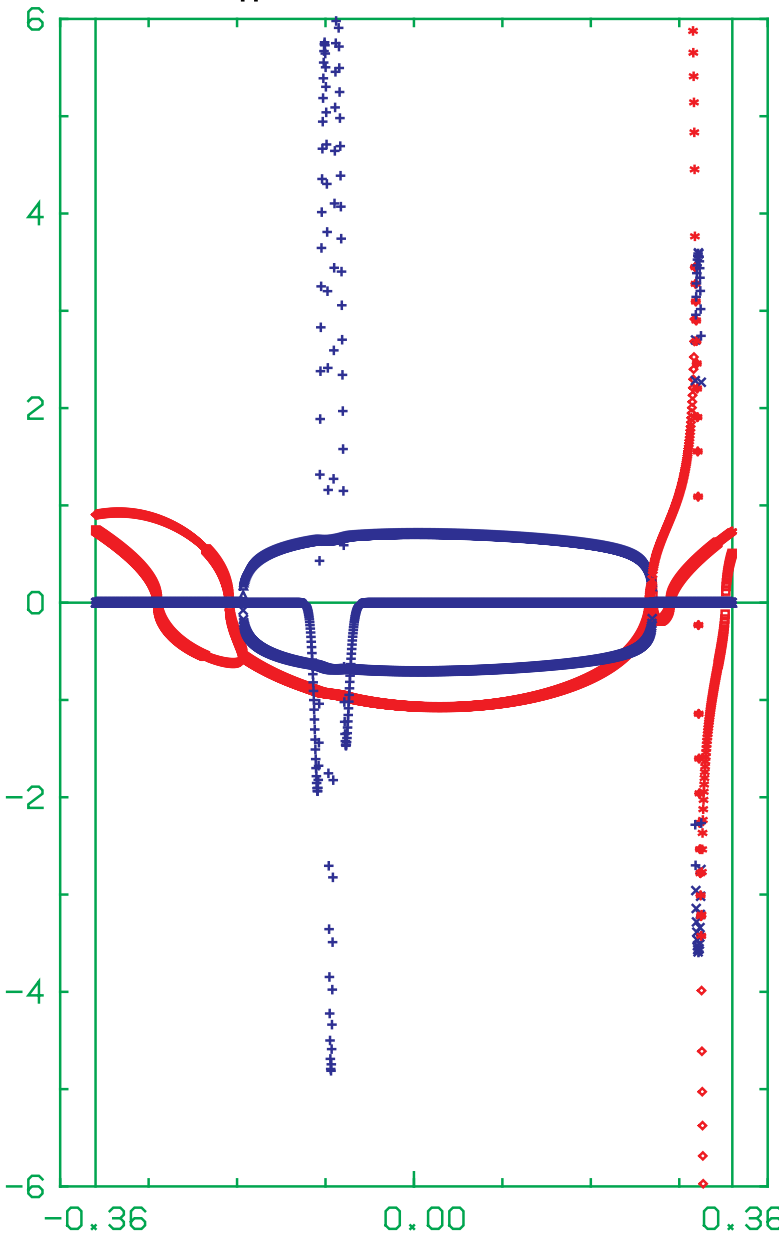
$$k_{\parallel} = 40 \text{ m}^{-1}$$



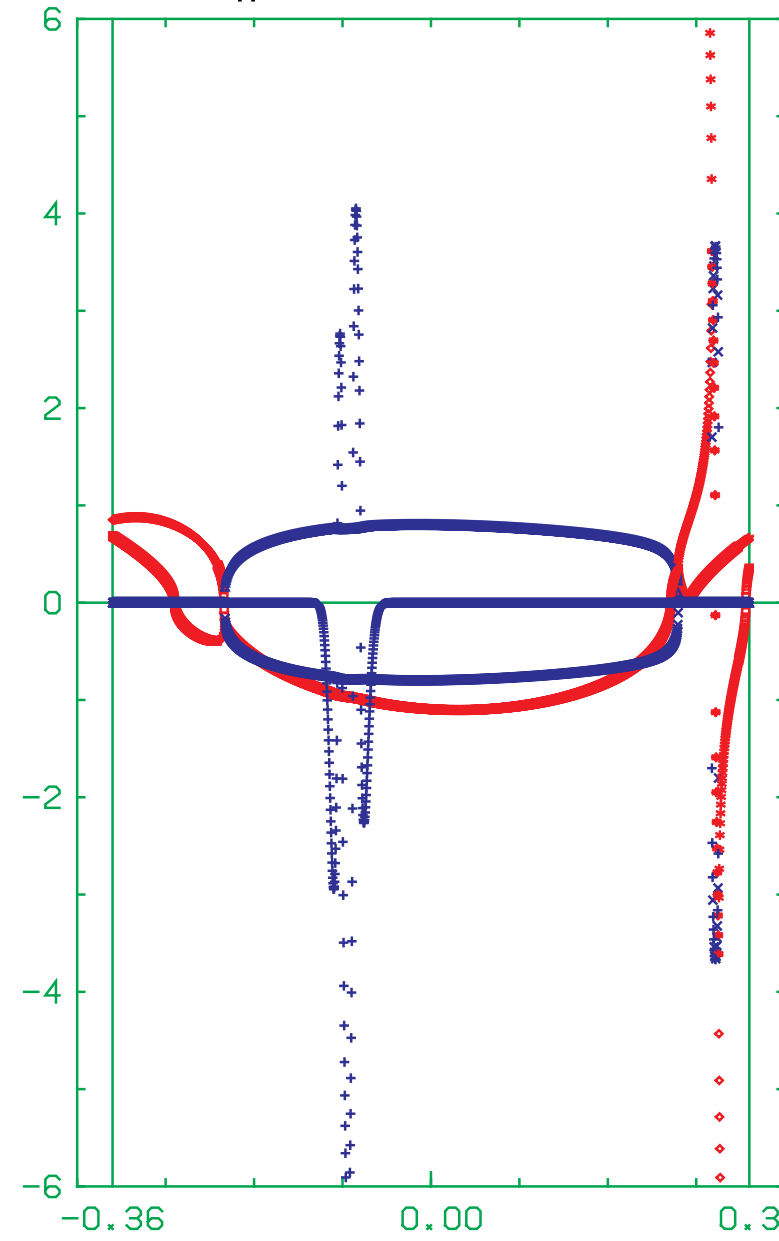
# QUEST における O-X-B モード変換の解析例 (I)

$R = 0.64 \text{ m}$ ,  $a = 0.36 \text{ m}$ ,  $B_0 = 0.25 \text{ T}$ ,  $n_{e0} = 2 \times 10^{18} \text{ m}^{-3}$ ,  $f = 8.2 \text{ GHz}$

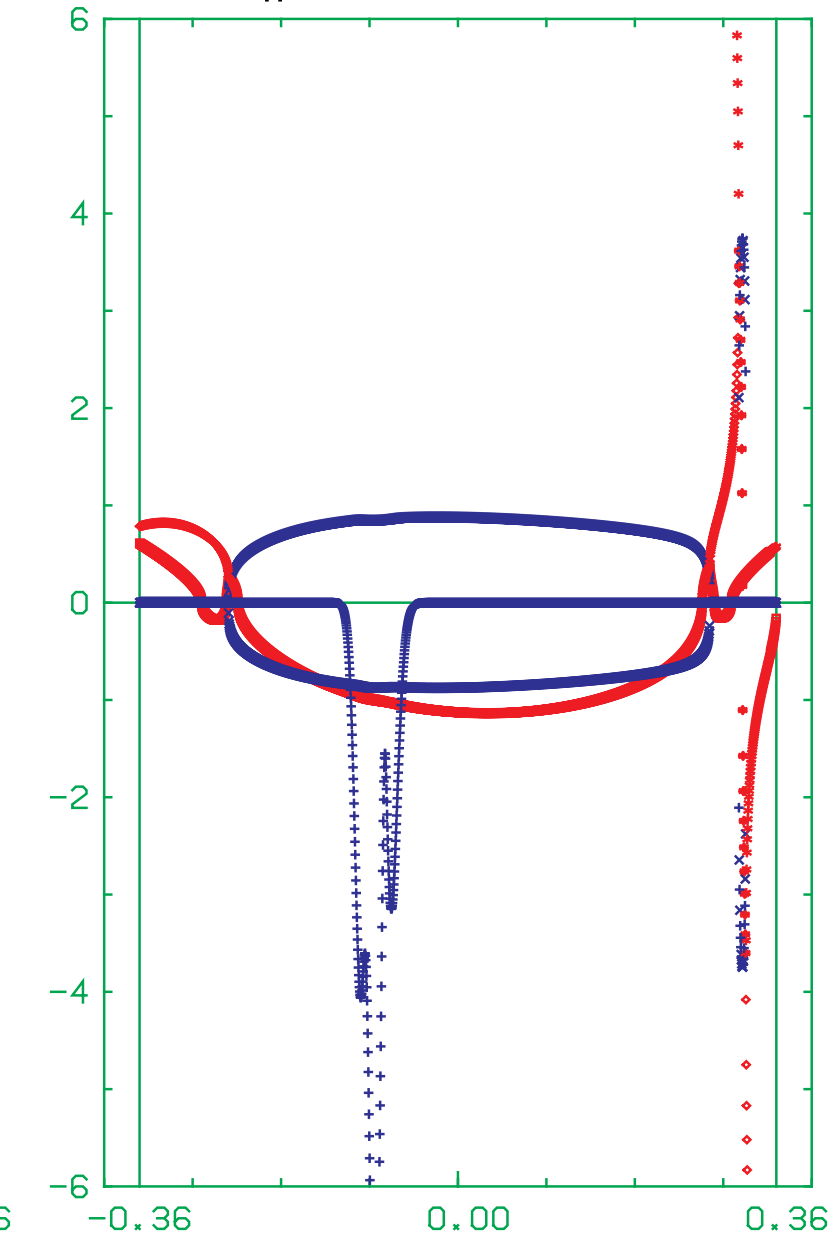
$$k_{\parallel} = 88 \text{ m}^{-1}$$



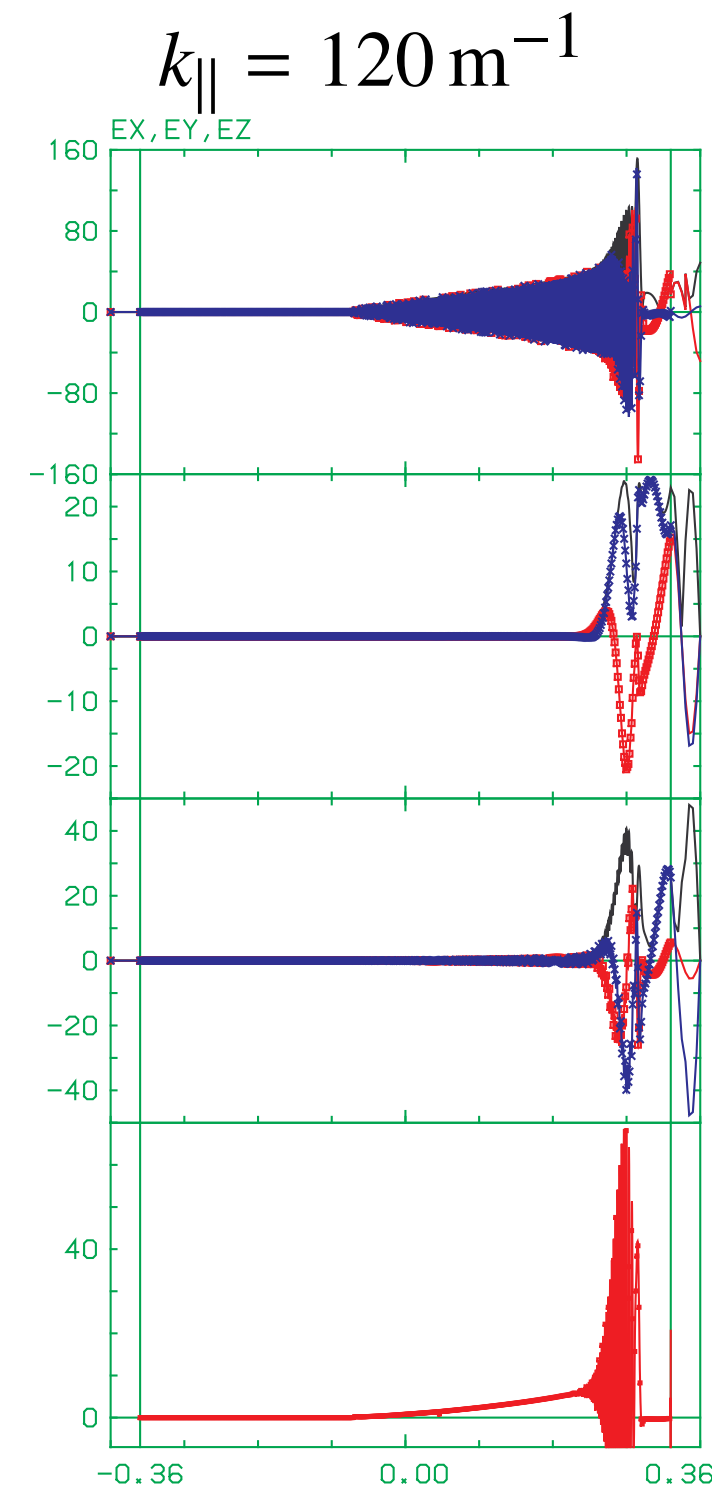
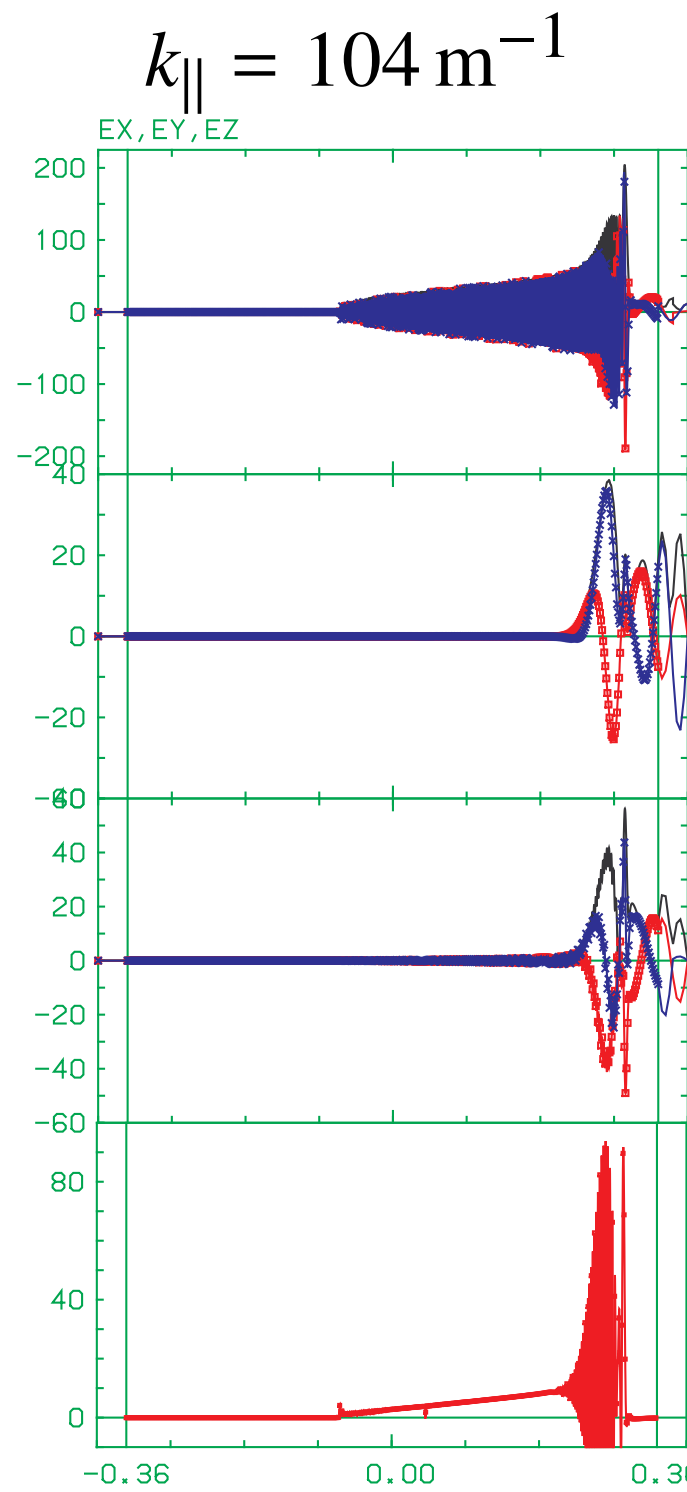
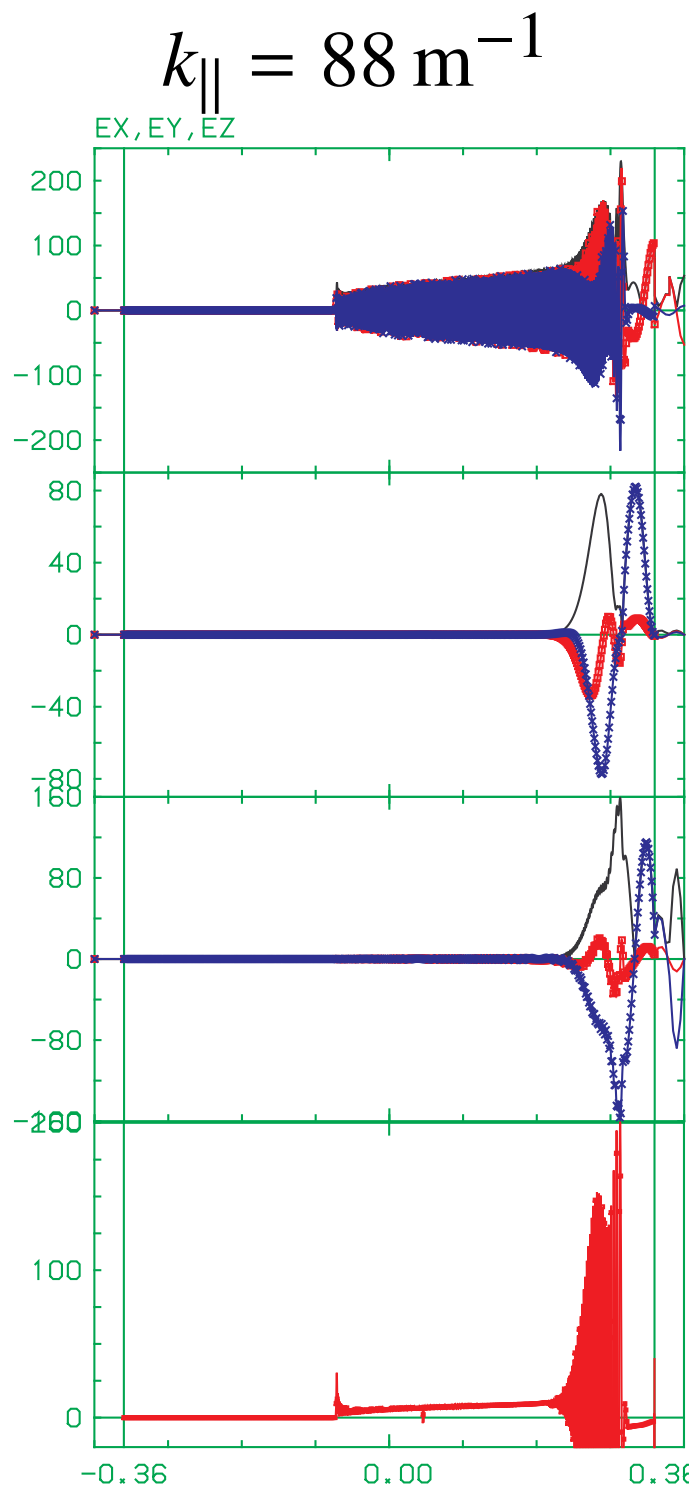
$$k_{\parallel} = 104 \text{ m}^{-1}$$



$$k_{\parallel} = 120 \text{ m}^{-1}$$

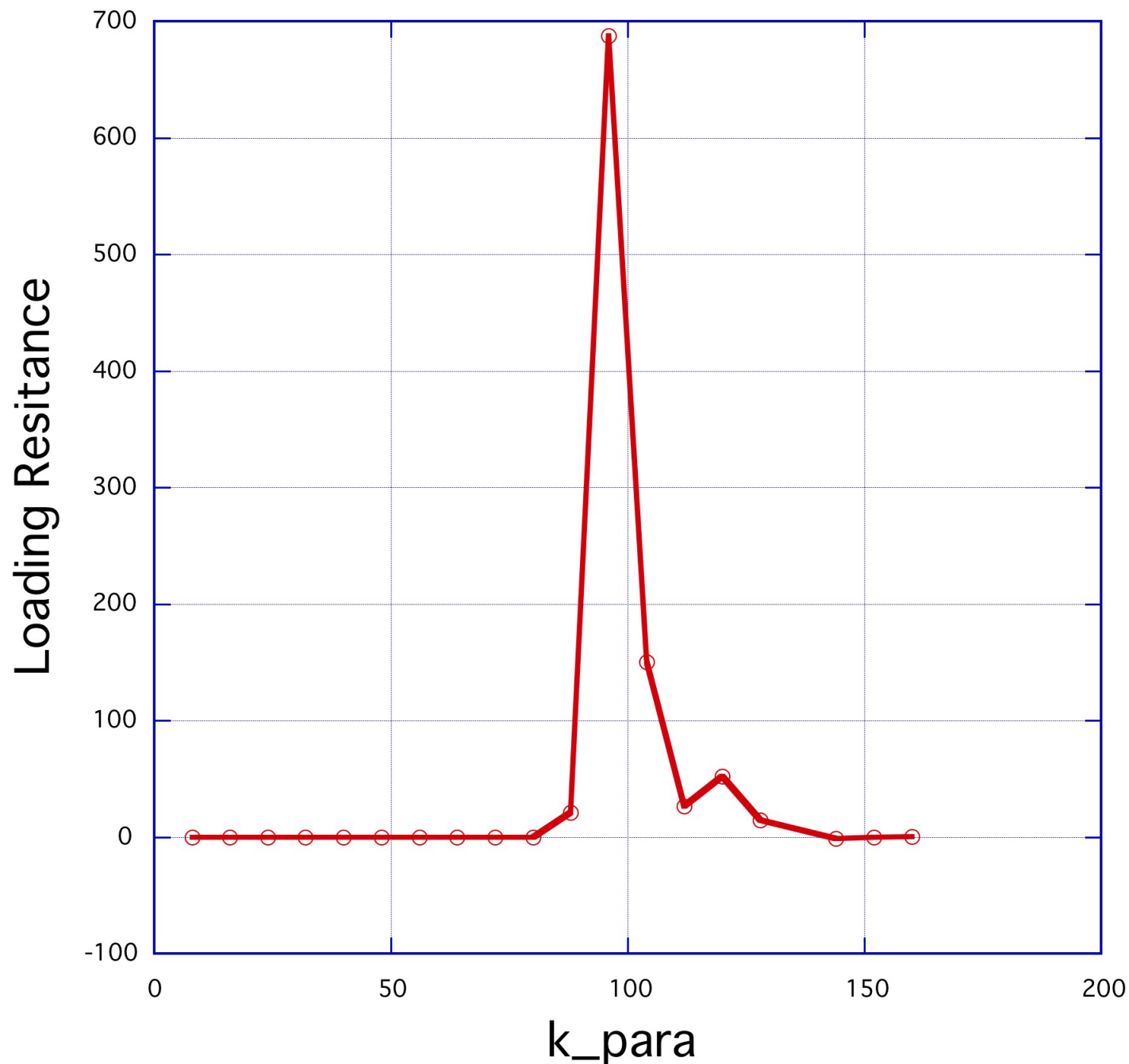


# QUEST における O-X-B モード変換の解析例 (II)



# QUEST における O-X-B モード変換の解析例 (III)

アンテナ負荷抵抗の磁力線方向波数依存性（入射角依存性）



# まとめ)

---

- 統合トカマクコード **TASK** による QUEST の解析が進行中である。
- **CDBM** 乱流輸送モデルを用いた輸送シミュレーション
  - 密度を固定した拡散型輸送シミュレーション TASK/TR
    - 。オームック加熱：高い電子温度, 低いイオン温度
  - 密度発展を含めた流体型輸送シミュレーション TASK/TX
    - 。ピークした密度分布
- 電子サイクロトロン波の伝播・加熱解析
  - フーリエ展開による波動光学的伝播・吸収解析 TASK/WM
    - 。伝播の密度依存性, 強磁場側からの回り込み
  - 積分形誘電率テンソルを用いた波動伝播・吸収解析 TASK/W1
    - 。O-X-B モード変換, サイクロトロン共鳴加熱

# 今後の課題

---

- 輸送モデリング
  - 中性粒子輸送や壁との相互作用を含めた粒子輸送シミュレーション **TASK/TX**
- 波動加熱モデリング
  - 電子バーンシュタイン波へのモード変換を含めた2次元波動伝播解析 **TASK/WF2D**
  - 波動伝播解析と速度分布関数解析を組み合わせた加熱・電流駆動解析 **TASK/FP**